

# OPERE INFRASTRUTTURALI FUNZIONALI AL POTENZIAMENTO E ALL'ACCESSIBILITÀ DELLE FIERE NODO STRADALE ALL'USCITA DEL CASELLO DELL'AUTOSTRADA A1 DI PARMA

# PROGETTO DI FATTIBILITÀ TECNICA ED ECONOMICA

RESPONSABILE UNICO DEL PROGETTO:

ING. MICHELE GADALETA

ASSISTENTE DEL RESPONSABILE UNICO DEL PROGETTO ING. LUIGI ELIA

CARATTERIZZAZIONE GEOTECNICA E SISMICA:

ING. CECILIA DAMONI

PROGETTAZIONE: ING. FILIPPO VIARO ING. PAOLO CORCHIA

AMBIENTE E PAESAGGIO
ARCH. SERGIO BECCARELLI

BECCARELLI

ACUSTICA

ING. GIOVANNI BRIANTI

Tecnico competente in Acustica Ambientale ENTECA n. 6042



Policreo Società di progettazione srl

ARCHEOLOGIA:
DOTT.SSA BARBARA SASSI

CARATTERIZZAZIONE GEOLOGICA:

**GEOL. MARCO GHIRARDI** 



AR/S ARCHEOSISTEMI Società Cooperativa

CONSULENZA TRASPORTISTICA:

ING. FABIO TORTA

ING. ESPEDITO SAPONARO ING. CLAUDIO D'ANGELO



TRT Trasporti e Territorio srl

COORDINAMENTO IN MATERIA DI SICUREZZA E DI SALUTE DURANTE LA FASE DI PROGETTAZIONE DELL'OPERA:

ING. PAOLO CORCHIA



Policreo Società di progettazione srl

Elaborato Tavola

STUDI SPECIALISTICI GEOLOGIA, IDROGEOLOGIA, GEOTECNICA E SISMICA RELAZIONE GEOTECNICA E SISMICA PR51.25.A.PFTE.02.GET.RES.001.R00

- OTTOBRE 2025
Scala

Rev.	Data	Descrizione
00	OTTOBRE 2025	EMISSIONE



STUDI SPECIALISTICI GEOLOGIA, IDROGEOLOGIA, GEOTECNICA E SISMICA Relazione geotecnica e sismica

# **INDICE**

1.	DESCRIZIONE DEL SITO, DELLE OPERE E DEGLI INTERVENTI	3
2.	CARATTERIZZAZIONE GEOTECNICA	4
3.	CARATTERIZZAZIONE SISMICA	5



STUDI SPECIALISTICI GEOLOGIA, IDROGEOLOGIA, GEOTECNICA E SISMICA Relazione geotecnica e sismica

# 1. DESCRIZIONE DEL SITO, DELLE OPERE E DEGLI INTERVENTI

Il sito oggetto dell'intervento si trova nel margine settentrionale del perimetro urbano cittadino, a ridosso dell'area di uscita dal casello "Parma" dell'Autostrada A1; è delimitato ad ovest dal parcheggio scambiatore nord e, ad est, dal prolungamento di via San Leonardo – SP 343R per Colorno (Fig. 1). L'intervento prevede opere infrastrutturali funzionali al potenziamento e all'accessibilità del nodo stradale all'uscita del casello dell'autostrada A1 di Parma.



FIGURA 1 – STATO DI FATTO – INQUADRAMENTO TERRITORIALE DELL'AMBITO OGGETTO D'INTERVENTO



STUDI SPECIALISTICI GEOLOGIA, IDROGEOLOGIA, GEOTECNICA E SISMICA Relazione geotecnica e sismica

# 2. CARATTERIZZAZIONE GEOTECNICA

In accordo a quanto previsto al § 6.2.2 delle NTC 2018, "Nel caso di costruzioni o di interventi di modesta rilevanza, che ricadano in zone ben conosciute dal punto di vista geotecnico, la progettazione può essere basata su preesistenti indagini e prove documentate". Le opere strutturali previste in progetto rientrano nell'ambito di "Interventi privi di rilevanza per la pubblica incolumità ai fini sismici" secondo quanto previsto dalla DGR 2272/2016, pertanto la caratterizzazione geotecnica si è basata sulla disposizione del § 6.2.2 delle NTC 2018. Tuttavia, data la strategicità dell'opera nell'ambito della realizzazione di opere pubbliche del territorio comunale si ritiene opportuno approfondire la caratterizzazione geotecnica del sito in fase esecutiva attraverso prove in situ, costituite principalmente da prove penetrometriche statiche in numero idoneo in funzione dell'estensione dell'intervento.

Per definire le caratteristiche geotecniche dei terreni interessati dalle opere di progetto, sono stati considerati studi pregressi eseguiti in area limitrofa al sito d'intervento.

Si riportano a seguire i parametri geotecnici del terreno in sito, adottati per le verifiche delle fondazioni.

Si trascura nell'analisi lo strato di terreno più superficiale, di spessore pari a circa 1.00/1.50 m e caratterizzato da materiale di riporto di varia natura, in quanto i parametri geotecnici non sono significativi per lo studio del complesso manufatto-terreno, considerato che le fondazioni saranno posate ad una profondità maggiore.

## **ORIZZONTE 1 - TERRENI A COMPORTAMENTO COESIVO**

- Profondità: da circa -1.00 da p.c. a circa -2.50 m da p.c.
- Parametri geotecnici:

	c' (kPa)	Cu (kPa)	Eed (MPa)	φ' (°)	$\gamma$ (kN/m <sup>3</sup> )
Valore caratteristico	11.2	66.0	4.5	21.6	

#### ORIZZONTE 2 - TERRENI A COMPORTAMENTO COESIVO

- Profondità: da circa -2.5 m da p.c. a circa -5.00 m da p.c.
- Parametri geotecnici:

	c' (kPa)	Cu (kPa)	Eed (MPa)	φ' (°)	$\gamma$ (kN/m <sup>3</sup> )
Valore caratteristico	11.4	44.0	2.8	20.2	

I valori di soggiacenza della falda nell'area d'intervento variano da un minimo di 0.50 m a un massimo di 1.00 m.



STUDI SPECIALISTICI GEOLOGIA, IDROGEOLOGIA, GEOTECNICA E SISMICA Relazione geotecnica e sismica

# 3. CARATTERIZZAZIONE SISMICA

Il nodo stradale oggetto di intervento si trova su una infrastruttura di accessibilità (AC) così come si evince dalla cartografia di Analisi per la condizione limite per l'emergenza approvata dal Comune di Parma contestualmente agli Studi di Microzonazione sismica del territorio comunale.

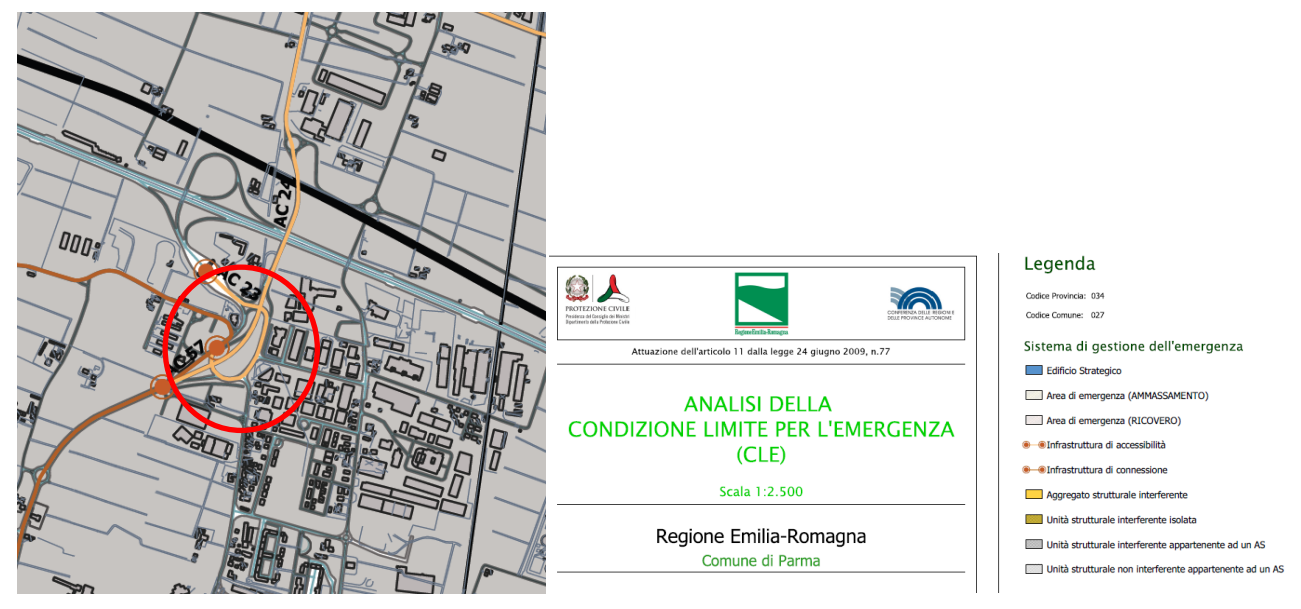


FIGURA 2 - ESTRATTI MAPPA CLE

La suddetta analisi per la condizione limite per l'emergenza converge nelle disposizioni dei piani di Protezione Civile in caso di calamità naturali e, pertanto, si ritiene che le strutture previste in progetto rientrino nell'ambito di "Categorie di edifici di interesse strategico e opere infrastrutturali la cui funzionalità durante gli eventi sismici assume rilievo fondamentale per le finalità di protezione civile" di cui all'Allegato A della dgr 1661/2009 in quanto "Altre opere infrastrutturali individuate nei piani provinciali di protezione civile". Alla luce delle considerazioni sopra riportate si ritiene che le strutture previste in progetto siano progettate in classe d'uso IV.

Coerentemente con quanto disposto nelle NTC 2018 (Cap. 2.4), per l'intervento in progetto si adottano quindi i seguenti parametri:

- VITA NOMINALE: "Opere con livelli di prestazioni ordinari" VN ≥ 50 anni (come definito dalla Tab. 2.4.I delle N.T.C. 2018); si assume quindi VN = 50 anni;
- CLASSE D'USO: Classe IV: Costruzioni con funzioni pubbliche o strategiche importanti, anche con riferimento alla gestione della protezione civile in caso di calamità. Industrie con attività particolarmente pericolose per l'ambiente. Reti viarie di tipo A o B, di cui al DM 5/11/2001, n. 6792, "Norme funzionali e geometriche per la costruzione delle strade", e di tipo C quando appartenenti ad itinerari di collegamento tra capoluoghi di provincia non altresì serviti da strade di tipo A o B. Ponti e reti ferroviarie di importanza critica per il mantenimento delle vie di comunicazione, particolarmente dopo un evento sismico. Dighe connesse al funzionamento di acquedotti e a impianti di produzione di energia elettrica (come definito dal paragrafo 2.4.2 delle N.T.C. 2018);
- PERIODO DI RIFERIMENTO PER L'AZIONE SISMICA: considerata la classe d'uso IV, il coefficiente d'uso risulta Cu=2.0 (cfr. Tab. 2.4.II delle N.T.C. 2018) e di conseguenza il periodo di riferimento per l'azione sismica è VR=VN\*Cu=50\*2.00 = 100 anni.

# Valore dei parametri ag, F0 Tc\* per i diversi stati limite

Le coordinate del sito d'intervento sono le seguenti:



STUDI SPECIALISTICI GEOLOGIA, IDROGEOLOGIA, GEOTECNICA E SISMICA Relazione geotecnica e sismica

Latitudine: 44.836363Longitudine: 10.339310

Assumendo, come precedentemente specificato, VN = 50 anni e Cu = 2 (classe d'uso IV) si ottengono, per il sito in esame, i seguenti valori dei parametri:

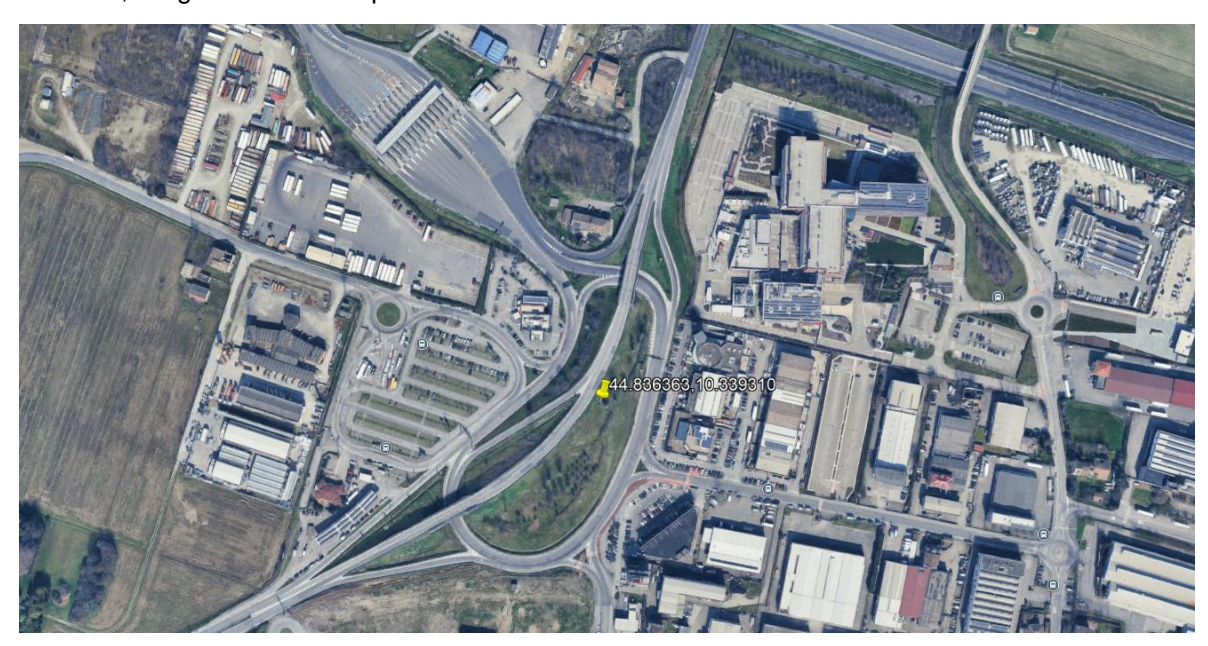


FIGURA 3 - COORDINATE DEL SITO



FIGURA 4 - PARAMETRI SISMICI

# Categoria di sottosuolo

Sulla base dei risultati di indagini HVSR eseguite in area limitrofa, i terreni appartengono alla categoria sismica C.



STUDI SPECIALISTICI GEOLOGIA, IDROGEOLOGIA, GEOTECNICA E SISMICA Relazione geotecnica e sismica

Categoria	Descrizione
А	Ammassi rocciosi affioranti o terreni molto rigidi caratterizzati da valori di velocità delle onde di taglio superiori a 800 m/s, eventualmente comprendenti in superficie terreni di caratteristiche meccaniche più scadenti con spessore massimo pari a 3 m
В	Rocce tenere e depositi di terreni a grana grossa molto addensati o terreni a grana fina molto consistenti, caratterizzati da un miglioramento delle proprietà meccaniche con la profondità e da valori di velocità equivalente compresi tra 360 m/s e 800 m/s
С	Depositi di terreni a grana grossa mediamente addensati o terreni a grana fina mediamente consistenti con profondità del substrato superiori a 30 m, caratterizzati da un miglioramento delle proprietà meccaniche con la profondità e da valori di velocità equivalente compresi tra 180 m/s e 360 m/s
D	Depositi di terreni a grana grossa scarsamente addensati o di terreni a grana fina scarsamente consistenti, con profondità del substrato superiori a 30 m, caratterizzati da un miglioramento delle proprietà meccaniche con la profondità e da valori di velocità equivalente compresi tra 100 e 180 m/s
E	Terreni con caratteristiche e valori di velocità equivalente riconducibili a quelle definite per le categorie C o D, con profondità del substrato non superiore a 30 m

# Condizioni topografiche

Essendo l'intervento in progetto ubicato in pianura, la categoria topografica corrispondente è la T1 superficie pianeggiante, pendii e rilievi isolati con inclinazione media i ≤ 15°, che corrisponde ad un valore del coefficiente ST pari a 1.00.

#### Microzonazione sismica Comunale

Il territorio del Comune di Parma è stato oggetto di studi di microzonazione sismica di 2° e 3° livello, che costituiscono un'importante base di riferimento per la valutazione della pericolosità sismica del territorio.

Per microzonazione sismica (di seguito definita MS) si intende la "valutazione della pericolosità sismica locale attraverso l'individuazione di zone del territorio caratterizzate da comportamento sismico omogeneo". In sostanza, la MS individua e caratterizza le zone stabili, le zone suscettibili di amplificazione locale del moto sismico e le zone suscettibili di instabilità: è ormai noto che lo stesso evento sismico può provocare scuotimenti decisamente differenti in dipendenza degli spessori e delle qualità dei terreni posti a copertura del substrato roccioso, delle caratteristiche morfologiche del sito e, inoltre, è riconosciuto che gli effetti di un terremoto variano col variare delle condizioni geologiche in cui esso si sviluppa.

La MS ha come scopo quello di riconoscere ad una scala sufficientemente grande (scala comunale o subcomunale), le condizioni locali che possono modificare sensibilmente le caratteristiche del moto sismico atteso o possono produrre deformazioni permanenti rilevanti per le costruzioni e le infrastrutture.

In funzione dei diversi contesti e dei diversi obiettivi, gli studi di MS possono essere effettuati a vari livelli di approfondimento, con complessità e impegno crescenti, passando dal Livello 1 fino al Livello 3:

- il Livello 1 è un livello propedeutico ai veri e propri studi di MS, in quanto consiste in una raccolta di dati preesistenti, elaborati per suddividere il territorio in microzone qualitativamente omogenee rispetto alle zone sopra descritte;
- il Livello 2 si propone di quantificare l'amplificazione sismica di ogni zona omogenea individuata nel Livello 1, utilizzando allo scopo ulteriori e mirate indagini, ove necessario, e definisce la "Carta dei fattori di amplificazione";



STUDI SPECIALISTICI GEOLOGIA, IDROGEOLOGIA, GEOTECNICA E SISMICA Relazione geotecnica e sismica

• il Livello 3 restituisce una "Carta di microzonazione sismica di Livello 3" con approfondimenti su tematiche o aree particolari.

Per l'area oggetto di studio è stato effettuato un approfondimento di livello 3 che prevede la suddivisione in dettaglio del territorio delle microzone omogenee, in funzione di un indice quantitativo che definisce l'amplificazione sismica attesa.

Come osservabile in Figura 5, per quanto riguarda l'accelerazione massima orizzontale al suolo, FA l'area oggetto di studio ricade in una porzione di territorio soggetta ad un'amplificazione FAPGA = 1.3-1.4.

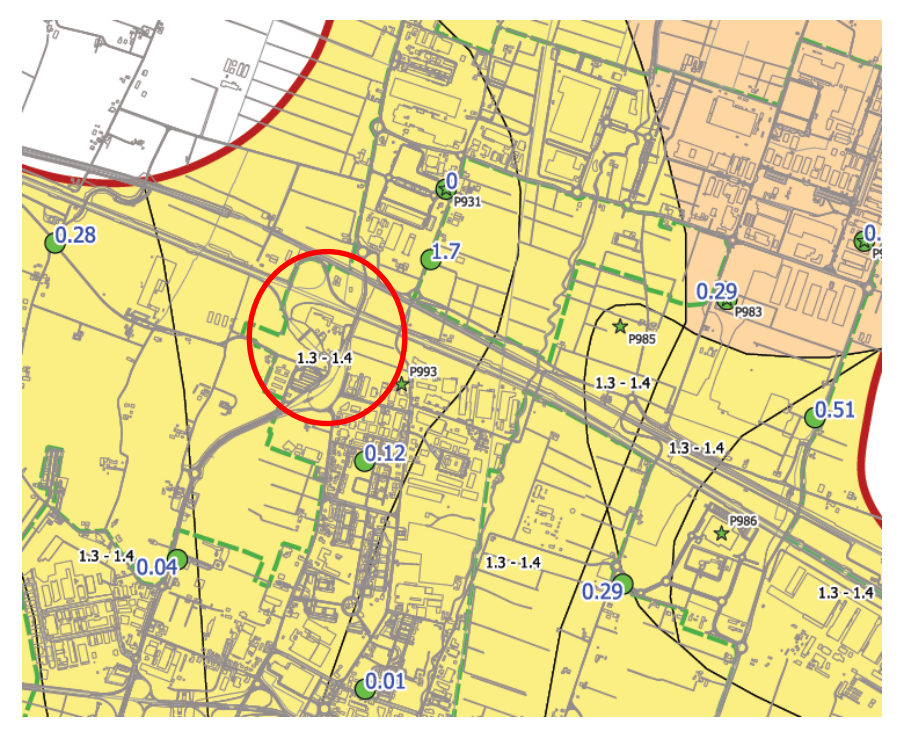


FIGURA 5 – STRALCIO DI CARTA DI MS III LIVELLO - FAPGA

Analizzando la stessa cartografia relativamente all'intervallo di periodo 0.5 s - 1.5 s, l'area oggetto di studio ricade in area soggetta ad un'amplificazione più elevata pari a FASA 0.5-1.5 s = 1.7-1.8.



STUDI SPECIALISTICI GEOLOGIA, IDROGEOLOGIA, GEOTECNICA E SISMICA Relazione geotecnica e sismica



FIGURA 6 - STRALCIO DI CARTA DI MS III LIVELLO - FASA 0,5-1,5

In assenza di analisi in situ, e data l'entità modesta delle strutture previste in progetto, potrebbe essere più prudenziale adottare una categoria di sottosuolo D.

# Analisi del rischio liquefazione

Le indagini geognostiche effettuate in area limitrofa non hanno evidenziato, entro i primi 20 m di profondità, la presenza di strati di terreno granulare a grana fine (sabbie) a bassa densità, sottofalda, con spessori pari o superiori al metro.

Per quanto riguarda il rischio di liquefazione, gli studi di microzonazione sismica Comunale evidenziano, nell'intorno dell'area d'intervento, valori degli indici molto bassi, compresi tra 0,0 e 1,7.

Considerata una stratigrafia di terreno presa a riferimento in area limitrofa e sulla base della letteratura esistente (Relationship between thickness of a aliquefied layer (H2) and thickness of the overlying non-liquefied crust (H1) level-ground sites for predicting when surficial liquefaction manifestations will and will not occur (from van Ballegooy et al. 2015, based on Ishihara, 1985) si può quindi considerare un basso rischio di liquefazione per l'intervento in oggetto.

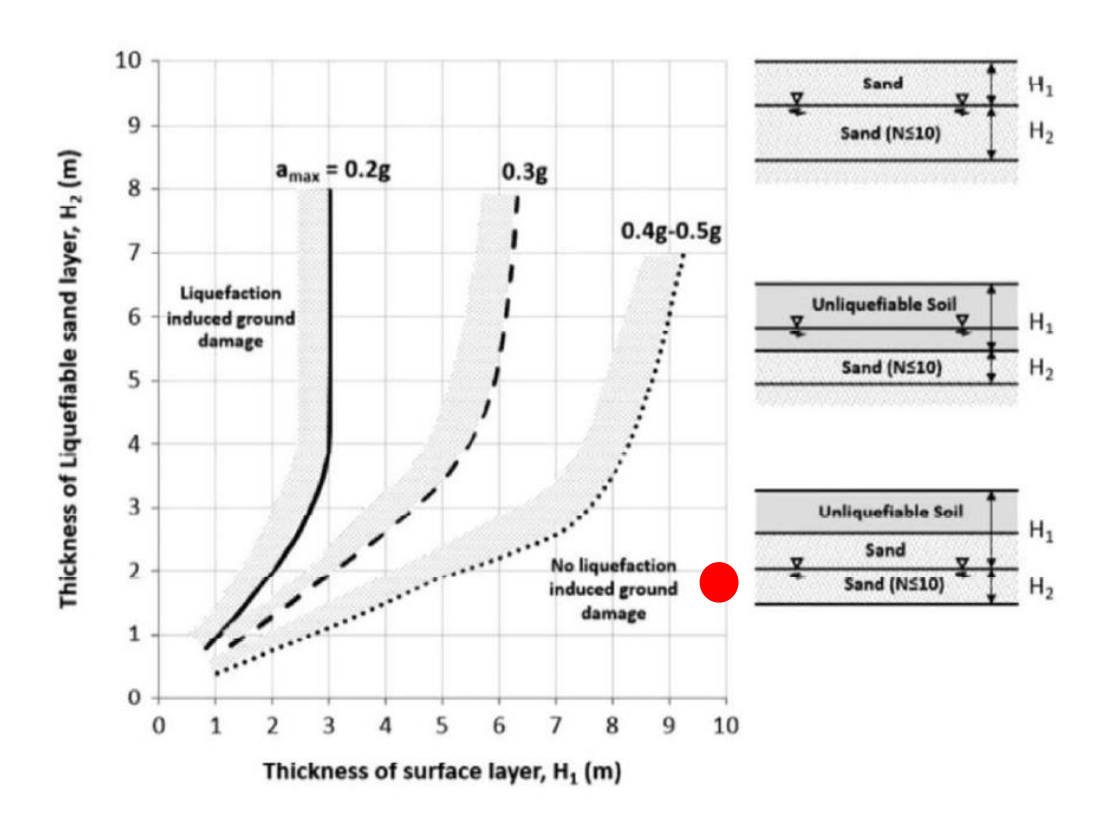


STUDI SPECIALISTICI GEOLOGIA, IDROGEOLOGIA, GEOTECNICA E SISMICA Relazione geotecnica e sismica

1	m	×_	
2			ARGILLA DEBOLMENTE LIMOSA DI COLORE GIALLASTRO
3		- ×	
4		×	SABBIA GRIGIA
5		-X	
6		_××_	ARGILLA DEBOLMENTE LIMOSA DI COLORE GRIGIO
7		-×	
	-	×	STRATO TORBOSO
8	Í	-×	ARGILLA LIMOSA CON PRESENZA DI SOTTILI INTERCALA-
9	•	_××	ZIONI TORBOSE
10		_ <b>*</b> /	STRATO TORBOSO
11			ARGILLA LIMOSA GRIGIA
	L_	×_	
	_		007 11 0 1 107 511 5 0 0 0 11 5 0
12 13		/× × × × ×	SABBIA LIMOSO ARGILLOSA
		× × × × × × × × × × × × × × × × × × ×	
13		/X X X X X X X X X X X X X X X X X X X	
13 14  15		* * * * * * * * * * * * * * * * * * *	SABBIA LIMOSO ARGILLOSA
13 14 		<u> </u>	
13 14 15 16		-x -x -x	SABBIA LIMOSO ARGILLOSA  ARGILLA DEBOLMENTE LIMOSA
13 14 15 16		*	SABBIA LIMOSO ARGILLOSA  ARGILLA DEBOLMENTE LIMOSA  STRATO TORROSO
13 14 15 16 17		× × × × × × × × × × × × × × × × × × ×	SABBIA LIMOSO ARGILLOSA  ARGILLA DEBOLMENTE LIMOSA



STUDI SPECIALISTICI GEOLOGIA, IDROGEOLOGIA, GEOTECNICA E SISMICA Relazione geotecnica e sismica



# Determinazione degli spettri di risposta

Si riepilogano a seguire i parametri sismici precedentemente definiti:

Latitudine: 44.836363Longitudine: 10.339310

- Categoria di sottosuolo: Categoria D (a favore di sicurezza)
- Coefficiente di amplificazione topografica ST = 1.0000
- Vita nominale della costruzione VN = 50.0 anni
- Classe d'uso IV CU = 2.0
- Periodo di riferimento per l'azione sismica: VR=VN\*Cu=50\*2.00 = 100 anni.

Per le opere di progetto si potrebbe assumere un fattore di comportamento q = 1.



STUDI SPECIALISTICI GEOLOGIA, IDROGEOLOGIA, GEOTECNICA E SISMICA Relazione geotecnica e sismica





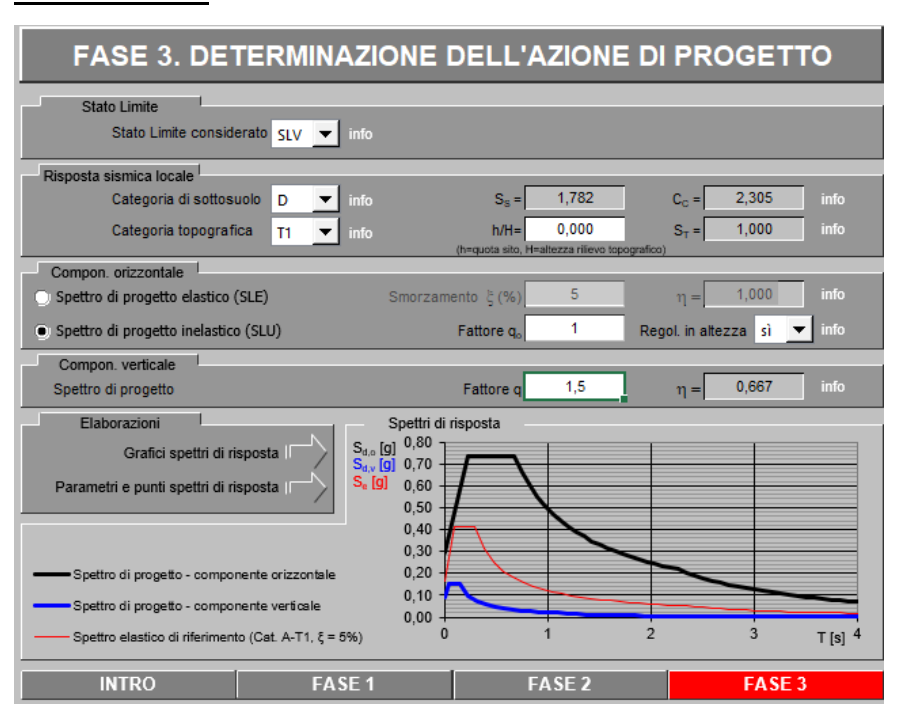
Tabella parametri ag, F0, Tc\* per i periodi di ritorno TR, associati a ciascuno stato limite:

SLATO LIMITE	T <sub>R</sub> [anni]	a <sub>g</sub> [g]	F <sub>o</sub> [-]	T <sub>C</sub> *
SLO	60	0,058	2,514	0,262
SLD	101	0,071	2,504	0,274
SLV	949	0,166	2,479	0,294
SLC	1950	0,207	2,493	0,304



STUDI SPECIALISTICI GEOLOGIA, IDROGEOLOGIA, GEOTECNICA E SISMICA Relazione geotecnica e sismica

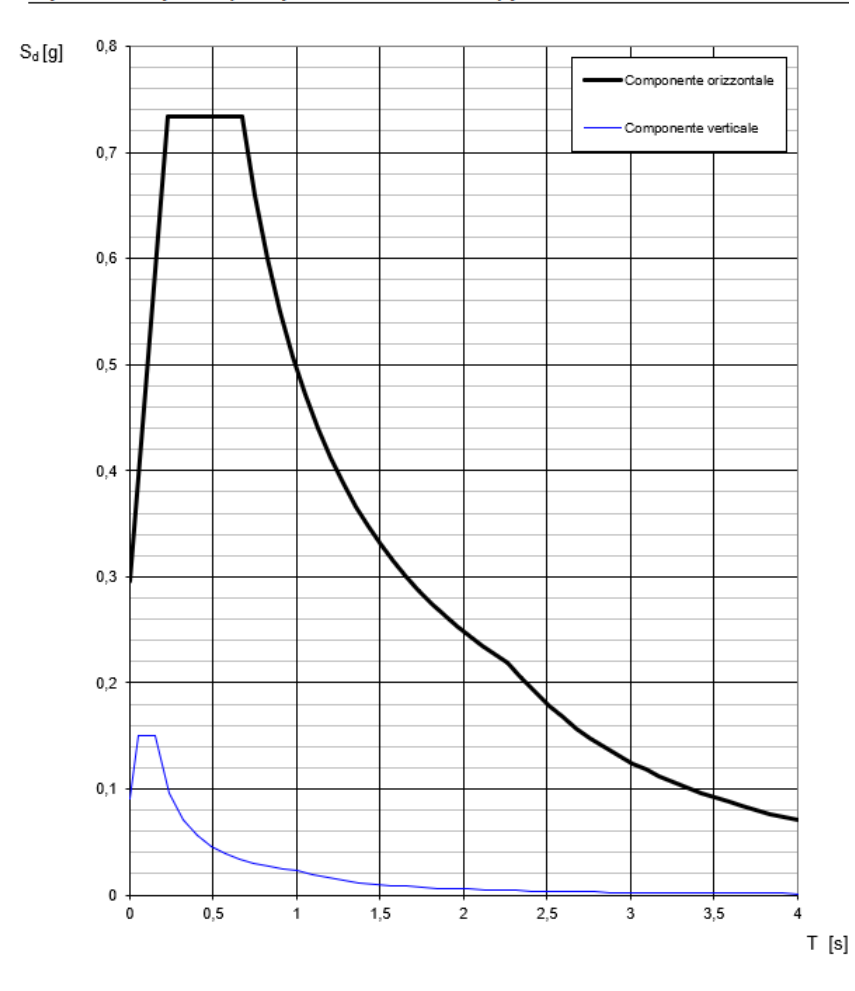
## **SPETTRO SLV:**





STUDI SPECIALISTICI GEOLOGIA, IDROGEOLOGIA, GEOTECNICA E SISMICA Relazione geotecnica e sismica

# Spettri di risposta (componenti orizz. e vert.) per lo stato limite: SLV





STUDI SPECIALISTICI GEOLOGIA, IDROGEOLOGIA, GEOTECNICA E SISMICA Relazione geotecnica e sismica

# Parametri e punti dello spettro di risposta orizzontale per lo stato limite SLV

#### Parametri indipendenti

STATO LIMITE	SLV
ag	0,166 g
F <sub>o</sub>	2,479
T <sub>C</sub> *	0,294 s
Ss	1,782
Cc	2,305
S <sub>T</sub>	1,000
q	1,000

## Parametri dipendenti

S	1,782
η	1,000
T <sub>B</sub>	0,226 s
Tc	0,678 s
T <sub>D</sub>	2,264 s

# Espressioni dei parametri dipendenti

$$S = S_S \cdot S_T$$
 (NTC-08 Eq. 3.2.5)

$$\eta = \sqrt{10/(5+\xi)} \ge 0.55$$
;  $\eta = 1/q$  (NTC-08 Eq. 3.2.6; §. 3.2.3.5)

$$T_B = T_C/3$$
 (NTC-07 Eq. 3.2.8)

$$T_C = C_C \cdot T_C^*$$
 (NTC-07 Eq. 3.2.7)

$$T_D = 4,0 \cdot a_a / g + 1,6$$
 (NTC-07 Eq. 3.2.9)

# Espressioni dello spettro di risposta (NTC-08 Eq. 3.2.4)

$$\begin{split} 0 &\leq T < T_B & S_e(T) = a_g \cdot S \cdot \eta \cdot F_o \cdot \left[ \frac{T}{T_B} + \frac{1}{\eta \cdot F_o} \left( 1 - \frac{T}{T_B} \right) \right] \\ T_B &\leq T < T_C & S_e(T) = a_g \cdot S \cdot \eta \cdot F_o \\ T_C &\leq T < T_D & S_e(T) = a_g \cdot S \cdot \eta \cdot F_o \cdot \left( \frac{T_C}{T} \right) \\ T_D &\leq T & S_e(T) = a_g \cdot S \cdot \eta \cdot F_o \cdot \left( \frac{T_C T_D}{T^2} \right) \end{split}$$

Lo spettro di progetto  $S_d(T)$  per le verifiche agli Stati Limite Ultimi è ottenuto dalle espressioni dello spettro elastico  $S_a(T)$  sostituendo  $\eta$  con 1/q, dove q è il fattore di struttura. (NTC-08 § 3.2.3.5)

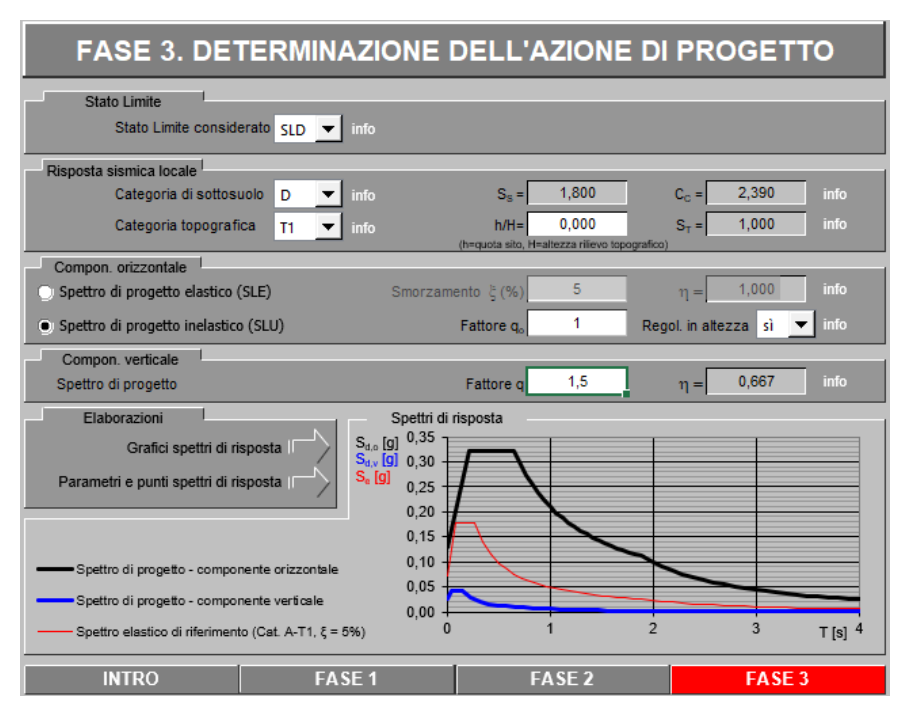
# Punti dello spettro di risposta

	T [s]	Se [g]
	0,000	0,296
Γ <sub>Β</sub> ◀	0,226	0,734
c◀	0,678	0,734
	0,754	0,660
	0,829	0,600
	0,905	0,550
	0,980	0,508
	1,056	0,471
	1,131	0,440
	1,207	0,412
	1,282	0,388
	1,358	0,366
	1,433	0,347
	1,509	0,330
	1,584	0,314
	1,660	0,300
	1,735	0,287
	1,811	0,275
	1,886	0,264
	1,962	0,254
	2,038	0,244
	2,113	0,235
	2,189	0,227
Γ <sub>D</sub> ◀−	2,264	0,220
	2,347	0,205
	2,429	0,191
	2,512	0,178
	2,595	0,167
	2,677	0,157
	2,760	0,148
	2,843	0,139
	2,925	0,132
	3,008	0,124
	3,091	0,118
	3,173	0,112
	3,256	0,106
	3,339	0,101
	3,421	0,096
	3,504	0,092
	3,587	0,088
	3,669	0,084
	3,752	0,080
	3,835	0,077
	3,917	0,073
	4,000	0,070

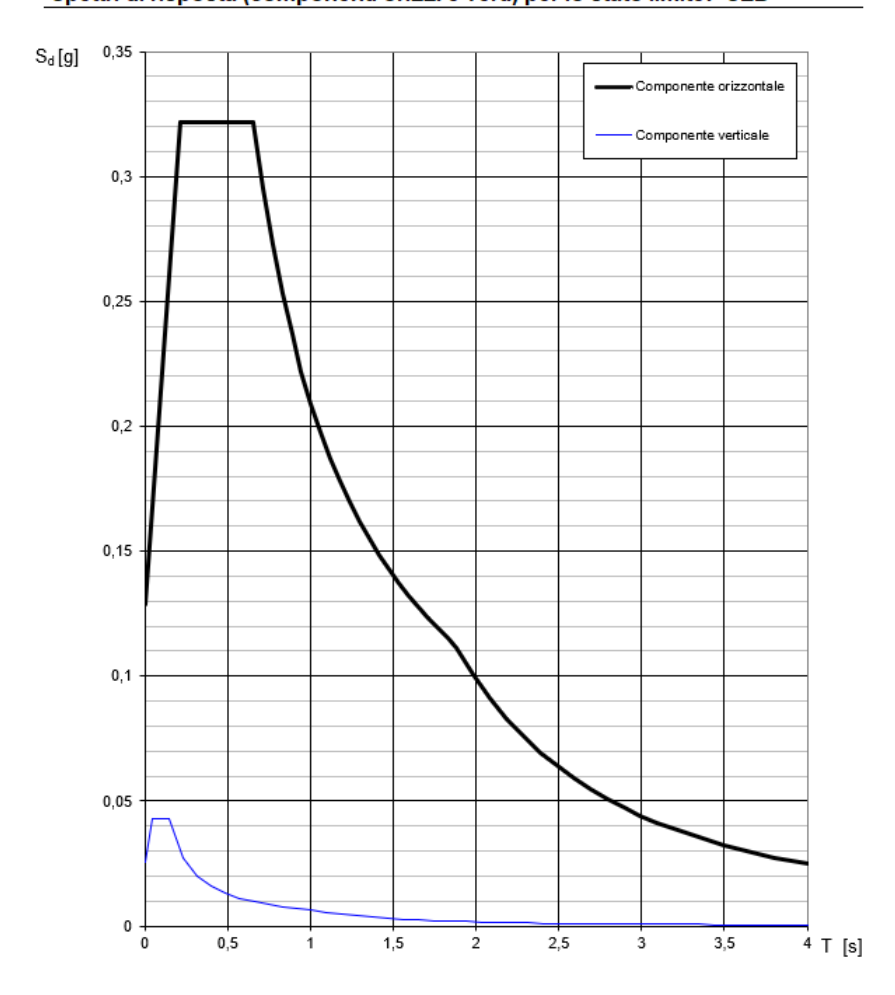


STUDI SPECIALISTICI GEOLOGIA, IDROGEOLOGIA, GEOTECNICA E SISMICA Relazione geotecnica e sismica

# **SPETTRO SLD**



Spettri di risposta (componenti orizz. e vert.) per lo stato limite: SLD







STUDI SPECIALISTICI GEOLOGIA, IDROGEOLOGIA, GEOTECNICA E SISMICA Relazione geotecnica e sismica

# Parametri e punti dello spettro di risposta orizzontale per lo stato limiteSLD

#### Parametri indipendenti

STATO LIMITE	SLD
ag	0,071 g
F <sub>o</sub>	2,504
T <sub>C</sub> *	0,274 s
Ss	1,800
Cc	2,390
S <sub>T</sub>	1,000
q	1,000

# Parametri dipendenti

S	1,800
η	1,000
T <sub>B</sub>	0,218 s
Tc	0,654 s
T <sub>D</sub>	1,886 s

# Espressioni dei parametri dipendenti

$$S = S_S \cdot S_T$$
 (NTC-08 Eq. 3.2.5)

$$\eta = \sqrt{10/(5+\xi)} \ge 0.55$$
;  $\eta = 1/q$  (NTC-08 Eq. 3.2.6; §. 3.2.3.5)

$$T_B = T_C / 3$$
 (NTC-07 Eq. 3.2.8)

$$T_C = C_C \cdot T_C^*$$
 (NTC-07 Eq. 3.2.7)

$$T_D = 4, 0 \cdot a_g / g + 1,6$$
 (NTC-07 Eq. 3.2.9)

## Espressioni dello spettro di risposta (NTC-08 Eq. 3.2.4)

$$\begin{split} 0 &\leq T < T_B & S_e(T) = a_g \cdot S \cdot \eta \cdot F_o \cdot \left[ \frac{T}{T_B} + \frac{1}{\eta \cdot F_o} \left( 1 - \frac{T}{T_B} \right) \right] \\ T_B &\leq T < T_C & S_e(T) = a_g \cdot S \cdot \eta \cdot F_o \\ T_C &\leq T < T_D & S_e(T) = a_g \cdot S \cdot \eta \cdot F_o \cdot \left( \frac{T_C}{T} \right) \\ T_D &\leq T & S_e(T) = a_g \cdot S \cdot \eta \cdot F_o \cdot \left( \frac{T_C T_D}{T^2} \right) \end{split}$$

Lo spettro di progetto  $S_d(T)$  per le verifiche agli Stati Limite Ultimi è ottenuto dalle espressioni dello spettro elastico  $S_o(T)$  sostituendo  $\eta$  con 1/q, dove q è il fattore di struttura. (NTC-08 § 3.2.3.5)

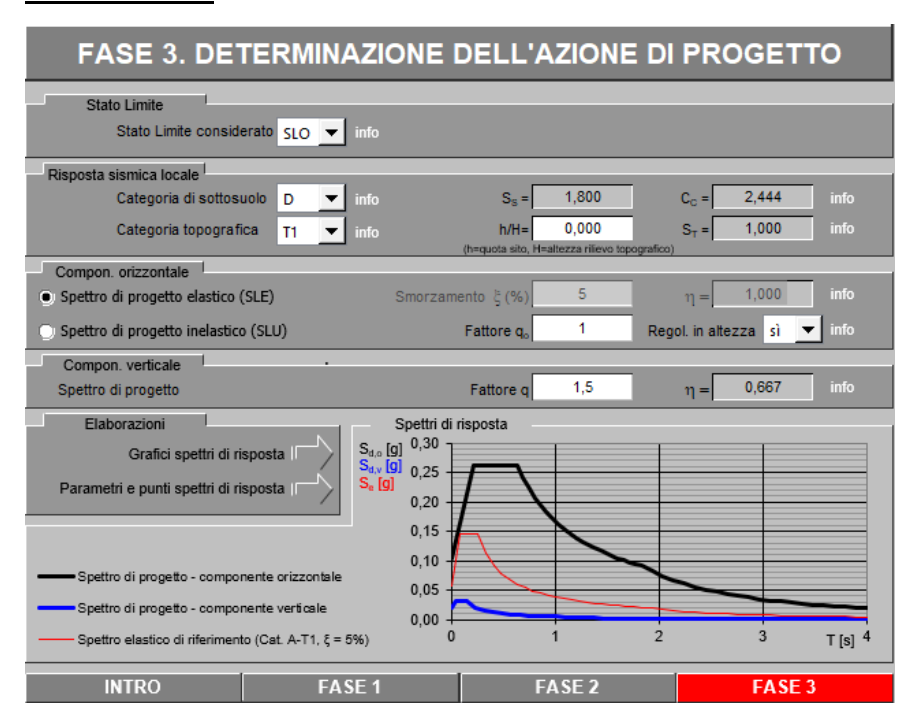
# Punti dello spettro di risposta

	T [s]	Se [g]
	0,000	0,128
T <sub>B</sub> ◀	0,218	0,322
Tc◀	0,654	0,322
	0,712	0,295
	0,771	0,273
	0,830	0,253
	0,888	0,237
	0,947	0,222
	1,006	0,209
	1,064	0,198
	1,123	0,187
	1,182	0,178
	1,240	0,170
	1,299	0,162
	1,358	0,155
	1,416	0,148
	1,475	0,143
	1,534	0,137
	1,592	0,132
	1,651	0,127
	1,710	0,123
	1,768	0,119
	1,827	0,115
T₀◀	1,886	0,112
	1,986	0,101
	2,087	0,091
	2,188	0,083
	2,288	0,076
	2,389	0,069
	2,490	0,064
	2,590	0,059
	2,691	0,055
	2,792	0,051
	2,892	0,047
	2,993	0,044
	3,094	0,041
	3,194	0,039
	3,295	0,037
	3,396	0,034
	3,497	0,032
	3,597	0,031
	3,698	0,029
	3,799	0,027
	3,899	0,026
	4,000	0,025

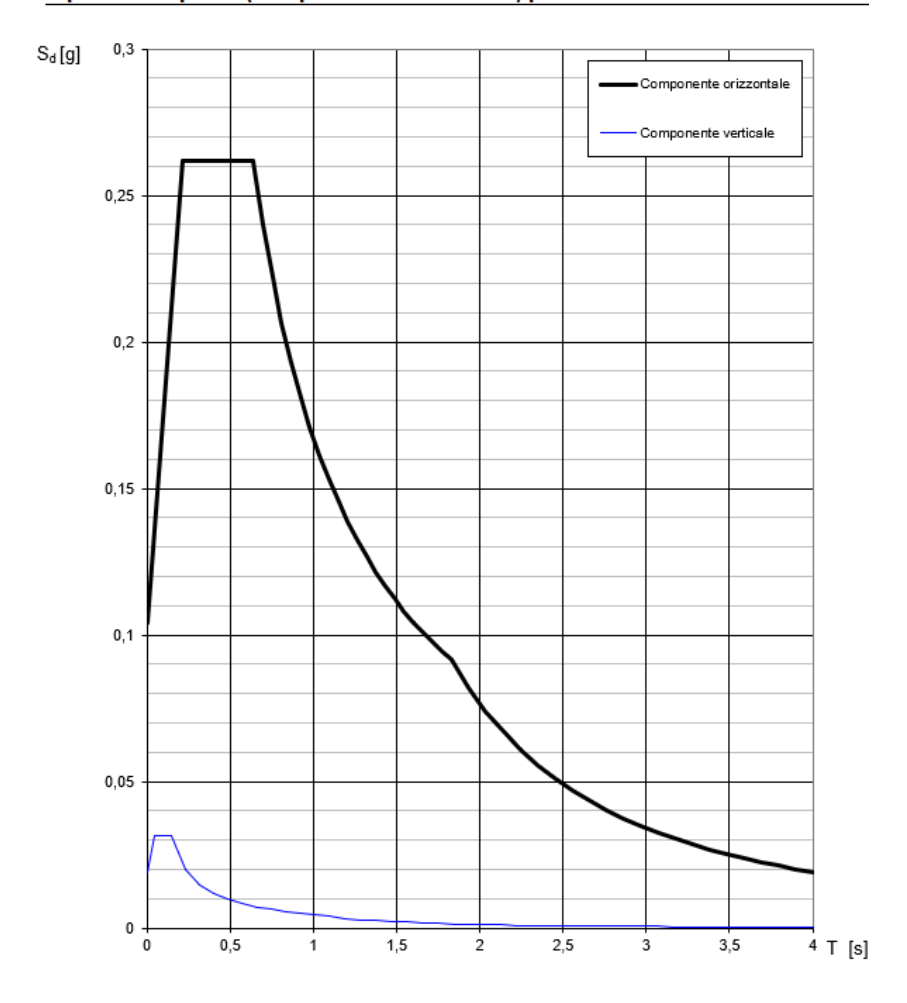


STUDI SPECIALISTICI GEOLOGIA, IDROGEOLOGIA, GEOTECNICA E SISMICA Relazione geotecnica e sismica

# **SPETTRO SLO**



Spettri di risposta (componenti orizz. e vert.) per lo stato limite: SLO





COMUNE DI PARMA

#### PROGETTO DI FATTIBILITÀ TECNICA ED ECONOMICA

STUDI SPECIALISTICI GEOLOGIA, IDROGEOLOGIA, GEOTECNICA E SISMICA Relazione geotecnica e sismica

# Parametri e punti dello spettro di risposta orizzontale per lo stato limiteSLO

# Parametri indipendenti

STATO LIMITE	SLO
a <sub>q</sub>	0,058 g
F <sub>o</sub>	2,514
T <sub>C</sub> *	0,262 s
Ss	1,800
СС	2,444
S⊤	1,000
q	1,000

## Parametri dipendenti

S	1,800
η	1,000
T <sub>B</sub>	0,213 s
Tc	0,639 s
T <sub>D</sub>	1,831 s

# Espressioni dei parametri dipendenti

$$S = S_c \cdot S_r$$
 (NTC-08 Eq. 3.2.5)

$$\eta = \sqrt{10/(5+\xi)} \ge 0.55$$
;  $\eta = 1/q$  (NTC-08 Eq. 3.2.6; §. 3.2.3.5)

$$T_B = T_C / 3$$
 (NTC-07 Eq. 3.2.8)

$$T_C = C_C \cdot T_C^*$$
 (NTC-07 Eq. 3.2.7)

$$T_D = 4, 0 \cdot a_g / g + 1,6$$
 (NTC-07 Eq. 3.2.9)

# Espressioni dello spettro di risposta (NTC-08 Eq. 3.2.4)

$$\begin{split} 0 &\leq T < T_B \quad S_e(T) = a_g \cdot S \cdot \eta \cdot F_o \cdot \left[ \frac{T}{T_B} + \frac{1}{\eta \cdot F_o} \left( 1 - \frac{T}{T_B} \right) \right] \\ T_B &\leq T < T_C \quad S_e(T) = a_g \cdot S \cdot \eta \cdot F_o \\ T_C &\leq T < T_D \quad S_e(T) = a_g \cdot S \cdot \eta \cdot F_o \cdot \left( \frac{T_C}{T} \right) \\ T_D &\leq T \quad S_e(T) = a_g \cdot S \cdot \eta \cdot F_o \cdot \left( \frac{T_C T_D}{T^2} \right) \end{split}$$

Lo spettro di progetto  $S_d(T)$  per le verifiche agli Stati Limite Ultimi è ottenuto dalle espressioni dello spettro elastico  $S_o(T)$  sostituendo  $\eta$  con 1/q, dove q è il fattore di struttura. (NTC-08 § 3.2.3.5)

# Punti dello spettro di risposta

	T [s]	Se [g]
	0,000	0,104
F₽◀	0,213	0,262
Γc◀	0,639	0,262
	0,696	0,240
	0,753	0,222
	0,810	0,207
	0,866	0,193
	0,923	0,181
	0,980	0,171
	1,037	0,161
	1,093	0,153
	1,150	0,145
	1,207	0,139
	1,264	0,132
	1,320	0,127
	1,377	0,121
	1,434	0,117
	1,491	0,112
	1,548	0,108
	1,604	0,104
	1,661	0,101
	1,718	0,097
	1,775	0,094
Γ <sub>D</sub> ◀−	1,831	0,091
	1,935	0,082
	2,038	0,074
	2,141	0,067
	2,244	0,061
	2,348	0,056
	2,451	0,051
	2,554	0,047
	2,657	0,043
	2,761	0,040
	2,864	0,037
	2,967	0,035
	3,071	0,032
	3,174	0,030
	3,277	0,029
	3,380	0,027
	3,484	0,025
	3,587	0,024
	3,690	0,022
	3,793	0,021
	3,897	0,020
	4,000	0,019